

## Низкопороговые параметрические распадные неустойчивости в экспериментах по электронно-циклотронному нагреву в тороидальных ловушках

Е. З. Гусаков<sup>1)</sup>, А. Ю. Попов

Физико-технический институт им. А. Ф. Иоффе РАН, 194021 Санкт-Петербург, Россия

Поступила в редакцию 5 мая 2010 г.

Анализируются экспериментальные условия, приводящие к существенному снижению порога отражательных параметрических распадных неустойчивостей при электронно-циклотронном (ЭЦ) нагреве плазмы в магнитных ловушках в отсутствие верхнего гибридного резонанса (ВГР) для греющей волны. Обсуждается роль немонотонного профиля плотности плазмы вблизи О-точки магнитного острова, который делает возможным локализацию ионных бернштейновских (ИБ) волн в направлении градиента плотности и подавление конвективных потерь из области распада. Показано, что вблизи локального максимума профиля плотности порог неустойчивости индуцированного рассеяния назад снижается на четыре порядка величины и легко превосходит в современных экспериментах по ЭЦ нагреву на уровне мощности в несколько сотен киловатт.

**Введение.** Электрон-циклотронный (ЭЦ) нагрев плазмы хорошо зарекомендовал себя в экспериментах на стеллараторах и токамаках. С его помощью возможно не только осуществление эффективного нагрева электронной компоненты плазмы, но и возбуждение токов увлечения. Для него созданы эффективные генераторы – гиротроны, которые позволяют возбуждать пучки ЭЦ волн с мощностью от 100 кВт до 1 МВт. В токамаке-реакторе ITER планируется использование ЭЦ нагрева, в частности, для подавления неоклассической тиринг-моды. Согласно современным представлениям, распространение ЭЦ волн и их поглощение в плазме хорошо описываются в рамках линейной теории и являются детально предсказуемыми. Теоретический анализ таких нелинейных явлений как параметрические распадные неустойчивости ЭЦ волн, предсказывает крайне высокий порог их возникновения (более 1 ГВт) существенно, на несколько порядков, превышающий мощность гиротронов [1–3]. Причиной столь высокого порога параметрической неустойчивости служат, в частности, большие конвективные потери дочерних волн из области параметрического распада в направлении неоднородности плазмы. Как известно, параметрический распад волны накачки в неоднородной плазме имеет место в узком слое, где выполнено резонансное условие Брэгга  $\Delta k = k_1 - k_2 - k_0 = 0$ , ( $k_1$ ,  $k_2$  и  $k_0$  – волновые векторы двух дочерних волн и волны накачки). Коэффициент усиления при этом дается формулой Пилия–Розенблюта [4–6]

$$S_{PR} = \exp(\pi\gamma_0^2 l^2 / (v_1 v_2)), \quad (1)$$

где  $\gamma_0$  – максимум инкремента неустойчивости, который прямо пропорционален амплитуде волны накачки,  $v_1$  и  $v_2$  – групповые скорости дочерних волн и  $l = |d(\Delta k)/dx|^{-1/2}$ . Очевидно, что порог параметрической неустойчивости может существенно снизиться, если амплитуда ЭЦ волны накачки увеличивается и/или уменьшается групповая скорость дочерних волн (см. (1)). Оба эти эффекта имеют место в случае индуцированного рассеяния назад в окрестности верхнего гибридного резонанса (ВГР) [7], что объясняет наблюдение параметрических процессов в экспериментах по электронному бернштейновскому нагреву уже при мощности нагрева 100 кВт [8]. Следует подчеркнуть, что в экспериментах по нагреву плазмы на 2-й ЭЦ гармонике условия ВГР, как правило, не выполнены, тем не менее, недавно в ходе экспериментов по ЭЦ нагреву на токамаке TEXTOR (нагрев необыкновенной волной с мощностью 200–600 кВт) было обнаружено аномальное рассеяние назад ЭЦ волны накачки [9, 10]. Рассеянный сигнал, модулированный по амплитуде на частоте МГД моды, наблюдался при наличии на пути ЭЦ волны магнитного острова  $m = 2$ ,  $n = 1$ . Его спектр был смещен вниз по частоте приблизительно на 1 ГГц, что соответствовало для условий экспериментов на TEXTOR'e нижнегибридной (НГ) частоте или частоте высокой ( $k = 30$ ) гармоники ионного циклотронного резонанса. Поскольку в этих экспериментах условия ВГР для ЭЦ волны не выполнялись, можно полагать, что значительное снижение порога параметрической неустойчивости вызвано новым неизученным механиз-

<sup>1)</sup> e-mail: evgeniy.gusakov@mail.ioffe.ru

мом и каким-то образом связано с наличием магнитного острова. В настоящей работе анализируются экспериментальные условия, при которых происходит существенное снижение порога параметрической неустойчивости по сравнению с предсказанием стандартной теории [1–3]. Рассматривается процесс параметрического отражения волны накачки в окрестности точки поворота ионной бернштейновской (ИБ) волны, где конвективные потери из области параметрического распада минимальны. Причем, используется тот факт, что в окрестности О-точки магнитного острова во многих экспериментах, в частности, на токамаке TEXTOR [11, 12] наблюдается немонотонный профиль плотности плазмы. При этом ИБ волна может иметь две точки поворота, что в свою очередь может приводить к ее запираанию в радиальном направлении, подавлению соответствующих конвективных потерь и, более того, вообще к их существенному снижению в направлении поперек магнитного поля. В работе найдена мнимая поправка к постоянной распространения плазменного волновода, коэффициент усиления ИБ волны и порог возбуждения параметрической неустойчивости индуцированного рассеяния ЭЦ волны назад.

**Уравнения для амплитуд волн, участвующих в распаде.** В работе анализируется параметрическое отражение ЭЦ волны необыкновенной поляризации, сопровождающееся генерацией ИБ волны, в рамках модели плоскостной одномерно-неоднородной плазмы. Будем полагать, что градиенты плотности и магнитного поля направлены вдоль оси  $x$ , а направление магнитного поля выберем вдоль оси  $z$ . Предположим, что ЭЦ волна необыкновенной поляризации, для которой ВГР находится вне плазменного шнура, возбуждается внешней антенной и распространяется в направлении  $x$ . Предположим также, что частота ЭЦ волны накачки, как и в экспериментах на токамаке TEXTOR, много больше электронной плазменной частоты и электронной циклотронной частоты,  $\omega_i \gg \omega_{pe}, \omega_{ce}$ . Это позволяет нам пренебречь в области распада зависимостью волновых векторов высокочастотных волн,  $k_{i,x}$  и  $k_{s,x}$ , от координаты  $x$  и представить пучок ЭЦ волн, распространяющихся от антенны внутрь плазмы поперек магнитного поля, в виде  $E_{iy} = a_i \exp(ik_{i,x}x - i\omega_i t)$ , где  $a_i(y, z) = \sqrt{8\pi P_i / (\pi \rho_y \rho_z c)} \exp(-y^2 / (2\rho_y^2) - z^2 / (2\rho_z^2))$  – амплитуда,  $P_i$  – мощность,  $\rho_y$  и  $\rho_z$  – радиус пучка соответственно в полоидальном и тороидальном направлениях. Далее, для упрощения анализа будем полагать, что радиус пучка в тороидальном направлении много больше, чем в полоидальном.

Электрическое поле отраженной высокочастотной волны описывается уравнением

$$\frac{\partial^2 E_{sy}}{\partial x^2} + k_{s,x}^2 E_{sy} = i \frac{4\pi\omega_s}{c^2} j_{sy}, \quad (2)$$

где нелинейная плотность тока есть произведение возмущения электронной плотности  $\delta n_\Omega$ , вызванное низкочастотной,  $\Omega = \omega_i - \omega_s \ll \omega_i$ , ИБ волной, и осцилляторной скорости  $u_{iy}$  в электрическом поле волны накачки,  $j_{sy} = e\delta n_\Omega u_{iy}$ . Поскольку ИБ волна является потенциальной,  $\mathbf{E} = -\nabla\varphi \exp(i\Omega t)$ , мы представим выражение для плотности нелинейного тока в виде

$$j_{sy} \simeq -\frac{e}{m_e c^2} \frac{\omega_{pe}^2}{\omega_{ce}^2} \frac{\partial^2 \varphi}{\partial x^2} E_{iy}. \quad (3)$$

Будем искать решение уравнения (2) в виде  $E_{sy} = a_s(x) \exp(-ik_{s,x}x - ik_{s,y}y - i\omega_s t)$ , где  $a_s(x)$  – амплитуда, медленно меняющаяся в области параметрического распада из-за нелинейного взаимодействия. Потенциал ИБ дочерней волны описывается интегральным уравнением

$$\int_{-\infty}^{\infty} dx' D(\mathbf{r} - \mathbf{r}', \mathbf{r} + \mathbf{r}') \varphi(\mathbf{r}') = 4\pi\rho_\Omega. \quad (4)$$

В слабонеоднородной плазме ядро интегрального оператора  $D(\mathbf{r} - \mathbf{r}', \mathbf{r} + \mathbf{r}')$  в уравнении (4) зависит преимущественно от разностного аргумента  $\mathbf{r} - \mathbf{r}'$ . Зависимость этой функции от аргумента  $\mathbf{r} + \mathbf{r}'$ , который описывает неоднородность среды, значительно более слабая. Это позволяет нам представить ядро интегрального оператора в виде  $D(\mathbf{r} - \mathbf{r}', \mathbf{r} + \mathbf{r}') = (2\pi)^{-3} \int_{-\infty}^{\infty} D(\mathbf{q}, \mathbf{r} + \mathbf{r}') \exp(i\mathbf{q}(\mathbf{r} - \mathbf{r}')) d\mathbf{q}$ , где

$$D(\mathbf{q}, \mathbf{r} + \mathbf{r}') = q^2 (1 + \chi_e + \chi_i) = D_\perp + D_\parallel, \quad (5)$$

$$\chi_e = \frac{q_\perp^2 \omega_{pe}^2}{q^2 \omega_{ce}^2} - \frac{q_z^2 \omega_{pe}^2}{q^2 \Omega^2}, \quad \chi_i = \frac{2\omega_{pi}^2}{q^2 v_{ti}^2} (1 - X(\xi) - Y(\xi)R) \quad (6)$$

– электронная и ионная [11] восприимчивости в однородной плазме,  $q_\perp = \sqrt{q_x^2 + q_y^2}$ ,  $\xi = \Omega / (q_\perp v_{ti})$ ,  $R = \cot(\pi\Omega/\omega_{ci}) + i/\sqrt{\pi} \cdot \omega_{ci}/|q_z|v_{ti} \times \sum_m \exp(-(\Omega - m\omega_{ci})^2 / (q_z^2 v_{ti}^2))$  и  $X(\xi) + iY(\xi) = \xi/\sqrt{\pi} \int_{-\infty}^{\infty} \exp(-t^2) / (t - \xi - io) dt$ . В выражении (5) мы ввели также следующие обозначения:  $D_\perp = q_\perp^2 (1 + \omega_{pe}^2/\omega_{ce}^2) + q^2 \chi_i$  и  $D_\parallel = q_z^2 (1 - \omega_{pe}^2/\Omega^2)$ . Нелинейная плотность заряда  $\rho_\Omega$  в уравнении (4) индуцируется в результате нелинейного взаимодействия волны накачки и отраженной волны (результат действия силы Миллера) и дается выражением

$$\rho_\Omega = \frac{1}{4\pi} \frac{e}{m_e} \frac{\omega_{pe}^2}{\omega_{ce}^2 \omega_i^2} \frac{\partial}{\partial x} \left[ E_{iy}^* \frac{\partial E_{sy}}{\partial x} + E_{sy} \frac{\partial E_{iy}^*}{\partial x} \right]. \quad (7)$$

Поскольку параметрическое взаимодействие, согласно выражению (1), значительно усиливается в области, где групповая скорость дочерней низкочастотной (ИБ) волны стремится к нулю, мы будем искать решение уравнения (4) в окрестности точки поворота ИБ волны в направлении  $x$  ( $x = x_0$ ). В этой точке для ИБ волн с частотой  $\Omega = \Omega_0$  и волновым вектором  $q_{x0} = \sqrt{q_{\perp 0}^2 - q_{y0}^2}$  ( $q_{y0} = k_{s,y} = \tan \vartheta \cdot k_{s,x}$ ,  $\vartheta$  – угол рассеяния) одновременно выполняются дисперсионное соотношение  $D|_{q_{\perp 0}, \Omega_0, x_0} \equiv D|_0 = 0$  и условие  $\partial D / \partial q_{\perp}|_0 = 0$  (обеспечивающее наличие точки поворота). Как видно из рис.1, из-за пери-

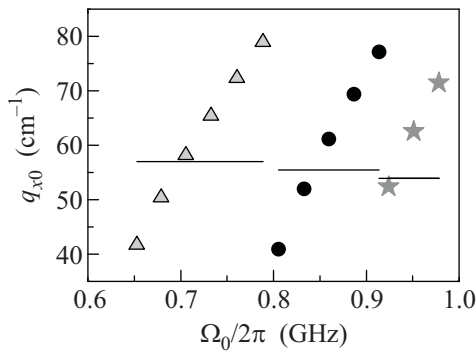


Рис.1. Параметры ИБ волны в точках поворота при:  $T_i = 600$  эВ;  $\vartheta = 20^\circ$ ;  $n = 1 \cdot 10^{13}$  см<sup>-3</sup> (треугольники);  $n = 2 \cdot 10^{13}$  см<sup>-3</sup> (кружки);  $n = 3 \cdot 10^{13}$  см<sup>-3</sup> (звезды); сплошные линии –  $-k_{i,x}(x_0) + k_{s,x}(x_0)$  для соответствующих плотностей

одичности функции  $\cot(\pi\Omega/\omega_{ci})$ , входящей в  $D_{\perp}$ , существует семейство решений системы уравнений  $D|_0 = 0$  и  $\partial D / \partial q_{\perp}|_0 = 0$ , причем мы можем найти такое  $q_{\perp} = q_{\perp 0}$ , которое близко к резонансному условию Брэгга ( $q_{x0} = k_{i,x} + k_{s,x}$ ,  $q_{y0} = k_{s,y}$ ). Далее, примем во внимание, что рассеянное назад излучение, наблюдавшееся на токамаке TEXTOR, было сильно модулировано по амплитуде на частоте МГД моды  $m = 2, n = 1$ , причём вспышки излучения имели место при прохождении магнитного острова через пучок греющего излучения [9, 10]. Согласно экспериментальным данным, полученным как с помощью РАДАР-рефлектометрии [12], так и с помощью томсоновской диагностики [13] на той же установке, профиль плотности плазмы имеет в острове немонотонный характер как по радиусу, так и по малому обходу тора, причём О-точке острова соответствует максимум плотности. Кроме того, учтем, что зависимость плотности плазмы от координат  $y$  и  $z$  существенно более слабая, поэтому в настоящей статье этой неоднородностью мы будем пренебрегать, оставаясь в рамках плоскостной

модели. Разложим далее дисперсионное соотношение в окрестности О-точки острова, то есть максимума плотности, где одновременно выполняются условия  $\partial D / \partial x|_0 = 0$  (условия экстремума функции) и  $q_{x0}^2 L_{nx}^{-2} \equiv \partial^2 D / \partial x^2|_0 > 0$  (условие максимума). В этом случае в плазме будет две точки поворота, которые связывают “теплую” и “горячую” моды ИБ волны. В случае, когда выполняется дополнительное условие  $\partial^2 D / \partial q_{\perp}^2|_0 < 0$ , имеет место запираение ИБ волны в радиальном направлении (см. рис.2, где показаны профиль плотности плазмы

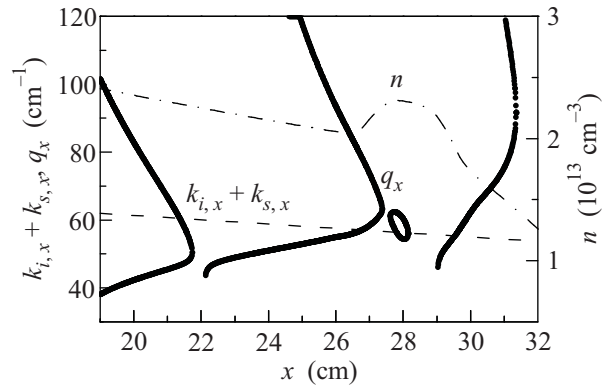


Рис.2. Дисперсионная кривая ИБ волны (сплошная линия), профиль плотности плазмы (штрих-пунктирная линия). Штриховая линия –  $k_{i,x}(x) + k_{s,x}(x)$

при наличии острова и дисперсионная кривая ИБ волны  $q_{\perp}(x)$ , полученная для частоты  $\Omega_0 = 0.85$  ГГц и ионной температуры  $T_i = 600$  эВ). Таким образом, происходит формирование эффективного одномерного плазменного волновода, в котором конвективный вынос в направлении неоднородности  $x$  отсутствует. Предполагая, что ИБ волна распространяется поперек магнитного поля, то есть  $q_z = 0$ , решение уравнения (4) будем искать в виде  $\varphi = b(x) \exp(-iq_{x0}x + idq_y x \tan(\vartheta)/2 - i(q_{y0} + \delta q_y)y)$ . В результате интегральное уравнение (4) в окрестности О-точки острова сводится к дифференциальному уравнению для амплитуды  $b(x)$ :

$$\left[ \frac{\partial D}{\partial \Omega} \Big|_0 \delta \Omega - \frac{\partial^2 D}{2 \partial q_x^2} \Big|_0 \frac{\partial^2}{\partial x^2} + q_{\perp 0}^2 \frac{\Delta x^2}{L_{nx}^2} - \delta D \right] b =$$

$$= 4\pi\rho\Omega \exp\left(iq_{x0}x - idq_y x \frac{\tan \vartheta}{2} + i(q_{y0} + \delta q_y)y\right),$$

где  $\delta D = \delta q_y \sin \vartheta / 2 \cdot q_{\perp}^{-1} \partial^2 D / \partial q_{\perp}^2|_0 \cdot \partial^2 / \partial x^2 + i2\omega_{pi}^2 / v_{ti}^2 \sum_{m=-\infty}^{\infty} \delta(\Omega / \omega_{ci}(y) - m) Y$ ,  $\Delta x = x - x_0$  и  $\delta \Omega = \Omega - \Omega_0$ . Первое слагаемое в  $\delta D$  ответственно за конвективный вынос ИБ волны в полоидальном ( $y$ ) направлении. Второе слагаемое описывает

затухание в рассматриваемом случае  $q_z = 0$ . Нелинейная плотность индуцированного заряда  $\rho_\Omega$ , из-за которого уравнение (8) становится неоднородным, описывает источник ИБ волн. Она пропорциональна мощности волны накачки и зависит от координаты  $y \sim \exp(-y^2/\rho_y^2)$ . Эту зависимость будем полагать плавной в ВКБ смысле.

**Анализ параметрического отражения ЭЦ волны.** Рассматривая  $\delta D$  и  $\rho_\Omega$  как возмущение, найдем решение уравнения (8) при  $\delta D = 0$ ,  $\rho_\Omega = 0$  и  $\delta q_y = 0$ . Это решение описывает собственную моду одномерного плазменного волновода, локализованную в направлении  $x$ :

$$b(x) = \varphi_k(x) = H_k(\Delta x/\delta_x) \exp(-\Delta x^2/(2\delta_x^2)), \quad (9)$$

и имеющую собственную частоту  $\delta\Omega_k = \partial D/\partial\Omega|_0^{-1} \sqrt{|\partial^2 D/\partial q_\perp^2|_0/2} \cdot q_{\perp 0}/L_{nx} \cdot (2k+1)$ . В (9) введены следующие обозначения:  $H_k$  полином Эрмита и  $\delta_x = (L_{nx}/q_{x0})^{1/2} (\partial^2 D/\partial q_\perp^2|_0/2)^{1/4}$  – размер области локализации нулевой моды. Далее, используя решение (9) уравнения (8) в однородном случае, воспользуемся процедурой теории возмущений [14]. Будем искать такое возмущение компоненты волнового вектора  $\delta q_y''$ , которое обеспечивает тождественное обнуление возмущения частоты собственной моды и, по сути, является постоянной распространения плазменного волновода:

$$(4\pi)^{-1} \int_{-\infty}^{\infty} \varphi_k(x) \delta D[\varphi_k(x)] dx = \int_{-\infty}^{\infty} \varphi_k(x) \rho_\Omega[\varphi_k(x)] \exp(iq_{x0}x + iq_{y0}y) dx, \quad (10)$$

где

$$\rho_\Omega[\varphi_k(x)] \exp(iq_{x0}x + iq_{y0}y) = -i \frac{q_{\perp 0}^3}{16\pi} \frac{\omega_{pe}^4}{\omega_{ce}^2 \omega_i^2} \frac{a_i^2}{H^2} \int_{-\infty}^x \exp(i\Delta K(x-x')) \varphi_k(x') dx'$$

и  $\Delta K = q_{x0} - k_{i,x} - k_{s,x}$ . Коэффициент усиления ИБ волны дается выражением  $S = \exp(\Gamma)$ , где  $\Gamma = 2 \int_{-\infty}^{\infty} q_y''(y) dy = 2\sqrt{\pi} \rho_y q_y''(0)$ . На рис.3 приведены значения  $\Gamma$  для различных значений плотности в острове, разных собственных мод  $k$  и типичных параметров разряда в токамаке TEXTOR. В силу того, что  $\Delta K \neq 0$ , максимум инкремента неустойчивости не всегда соответствует нулевой моде плазменного волновода. На рис.4 показано, что частота ИБ волны, соответствующая максимуму коэффициента усиления, увеличивается с увеличением плотности плазмы в острове. Подобное поведение частоты ИБ волны согласуется с зависимостями, наблюдавшимися экспериментально [10]. В пренебрежении затуханием ИБ

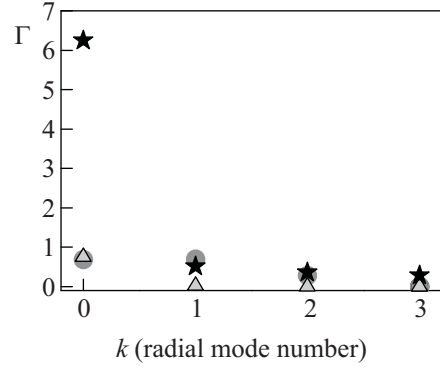


Рис.3. Зависимость логарифма коэффициента усиления от номера радиальной моды;  $P = 400$  кВт;  $T_i = 600$  эВ;  $\vartheta = 20^\circ$ ; треугольники –  $n = 1 \cdot 10^{13}$  см $^{-3}$ ,  $\Omega_0/(2\pi) = 0.68$  ГГц; кружки –  $n = 2 \cdot 10^{13}$  см $^{-3}$ ,  $\Omega_0/(2\pi) = 0.83$  ГГц; звезды –  $n = 3 \cdot 10^{13}$  см $^{-3}$ ,  $\Omega_0/(2\pi) = 0.92$  ГГц

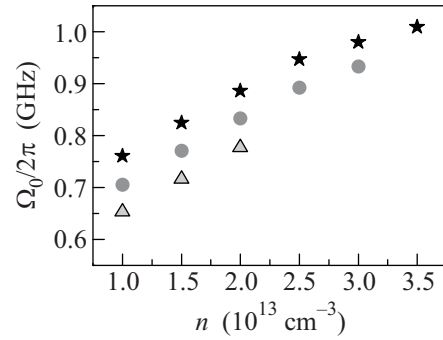


Рис.4. Зависимость частоты, соответствующей максимальному инкременту параметрической неустойчивости от плотности плазмы.  $\vartheta = 20^\circ$ ; треугольники –  $T_i = 300$  эВ; кружки –  $T_i = 600$  эВ; звезды –  $T_i = 900$  эВ

волны мнимая часть полоидальной компоненты волнового вектора, описывающая параметрическое возбуждение, находится из (10) в виде

$$q_y''(y) = \alpha_k |q_\perp^4 \delta_x^3|_0 \frac{\omega_{pe}^4}{\omega_{ce}^2 \omega_i^2} \frac{|a_i|^2(y, 0)}{H^2}, \quad (11)$$

где

$$\alpha_k = \frac{\sqrt{\pi} \varphi_k^2(\Delta K \delta_x)}{\sin \vartheta k! 2^k (2k+1) \partial^2 D / \partial q_\perp^2|_0}$$

Порог параметрической отражательной неустойчивости, который соответствует мощности волны накачки, при которой  $\Gamma > 1$ , дается в этом случае выражением

$$P_{th} = \frac{c \rho_z H^2}{16 \sqrt{\pi} \alpha_k} \frac{\omega_{ce}^2 \omega_i^2}{\omega_{pe}^4} \left| \frac{1}{q_\perp^4 \delta_x^3|_0} \right|. \quad (12)$$

Для типичных параметров токамака TEXTOR ( $H = 19$  кГс,  $f_i = 140$  ГГц,  $n = 3 \cdot 10^{13}$  см $^{-3}$ ,  $T_i = 600$  эВ,  $\rho_z = 1$  см) при вариации плотности в острове  $\delta n/n =$

0.1 и ширине острова  $w = 3$  см [13], порог параметрической неустойчивости для фундаментальной моды ( $k = 0$ ) при  $\Delta K \delta_x \ll 1$  и  $\vartheta = 20^\circ$  составляет  $P_{th} \approx 78$  кВт, что превосходит в экспериментах на токамаке TEXTOR. Частота ИБ волны при этом складывается из  $\Omega_0/2\pi = 0.92$  ГГц и  $\delta\Omega_0/(2\pi) = 4$  МГц, а область ее локализации даётся  $\delta_x = 0.6$  см. Следует отметить, что пороговое значение мощности (12) пропорционально синусу угла рассеяния, что приводит к формальному обнулению порога неустойчивости при рассеянии строго назад. Этот эффект связан с полным обнулением при этом и без того малых потерь ИБ волн в направлении поперек магнитного поля и градиента плотности. Порог неустойчивости при этом, конечно, остается конечным и определяется дифракционными потерями, связанными с конечной шириной области усиления и описываемыми членом  $\delta D \sim \delta q_y^2$ . В случае СВЧ пучка узкого в направлении магнитного поля, могут стать существенными и дифракционные потери ИБ волн в этом направлении, описываемые  $\delta D \sim \delta q_x^2$ . Заметим, однако, что дифракционные потери как поперёк магнитного поля, так и вдоль него следует учитывать одновременно со слабой неоднородностью магнитного поля вдоль большого радиуса установки, приводящей к запырению ИБ волны и в полоидальном направлении, формированию для неё двумерного плазменного волновода и, в конечном счёте, к подавлению дифракционных потерь. Описанию этих тонких эффектов будет посвящена отдельная статья.

**Заключение.** В работе проанализированы экспериментальные условия, способные приводить к существенному снижению порога отражательных параметрических неустойчивостей при ЭЦ нагреве плазмы в магнитных ловушках в отсутствии ВГР для греющей волны. Предложена теоретическая модель, предсказывающая полное подавление конвективных потерь низкочастотной дочерней волны в направлении неоднородности плотности плазмы и, как следствие, значительное снижение порога параметрической неустойчивости по сравнению с предсказанием стандартной теории. В рамках развитой теоретической модели предложен механизм, приводящий к запырению ИБ волны в эффективном плазменном волноводе, который возникает из-за специфических удерживающих свойств магнитного острова. Мы полагаем, что данный механизм является общим для всех тороидальных установок и может приводить к аномальному отражению ЭЦ волн в экспериментах по ЭЦ нагреву плазмы. С поглощением ИБ волн, возбужденных по описанному в настоящей статье механизму, скорее всего, связано наблюдаемое во многих экспериментах по ЭЦР нагреву на второй гармонике ускорение ионов и нагрев ионной компоненты [15]. Следует отметить, что не только магнитный остров, но и возмущение плотности, вызванное дрейфовой неустойчивостью, могут приводить к запырению ИБ волн. Эффект запырения ИБ волн может также иметь место при параметрическом распаде на оси разряда.

Работа поддержана грантами Российского фонда фундаментальных исследований #10-02-90003-Бел, #10-02-00887, NWO-RFBR Centre of Excellence on Fusion Physics and Technology (grant #047.018.002) и грантом поддержки ведущих научных школ – 6214.2010.2.

Работа поддержана грантами Российского фонда фундаментальных исследований #10-02-90003-Бел, #10-02-00887, NWO-RFBR Centre of Excellence on Fusion Physics and Technology (grant #047.018.002) и грантом поддержки ведущих научных школ – 6214.2010.2.

1. A. G. Litvak, A. M. Sergeev, E. V. Suvorov et al., Phys. Fluids B **5**, 4347 (1993).
2. M. Porkolab and B. I. Cohen, Nucl. Fusion **28**, 239 (1988).
3. B. I. Cohen, R. H. Cohen, W. McCay Nevins et al., Rev. Mod. Phys. **63**, 949 (1991).
4. A. D. Piliya, Proc. 10th Conf. Phenomena in Ionized Gases (Oxford), 1971, p. 320.
5. M. N. Rosenbluth, Phys. Rev. Lett. **29**, 564 (1972).
6. A. D. Piliya, Zh. Eksp. Teor. Fiz. (Sov. Phys.-JETP) **64**, 1237 (1973).
7. E. Z. Gusakov and A. V. Surkov, Plasma Phys. Control. Fusion **49**, 631 (2007).
8. H. P. Laqua, Plasma Phys. Control. Fusion **49**, R1 (2007).
9. J. W. Oosterbeek, A. Burger, E. Westerhof et al., Rev. Sci. Instrum. **79**, 093503 (2008).
10. E. Westerhof, S. K. Nielsen, J. W. Oosterbeek et al., Phys. Rev. Lett. **103**, 125001 (2009).
11. A. D. Piliya and A. N. Saveliev, Plasma Phys. Control. Fusion **36**, 2059 (1994).
12. A. J. H. Donne, J. C. van Gorkom, V. S. Udintsev et al., Phys. Rev. Lett. **94**, 085001 (2005).
13. M. Yu. Kantor, A. J. H. Donne, R. Jaspers et al., Plasma Phys. Control. Fusion **51**, 055002 (2009).
14. E. Z. Gusakov and V. I. Fyodorov, Plasma Phys. Reports **5**, 827 (1979).
15. D. Rapisarda, B. Zurro, V. Tribaldos et al., Plasma Phys. Control. Fusion **49**, 309 (2007).